

粒状体の平均間隙径について

岐阜大学工学部 正会員 宇野尚雄
玉野測量(株) 正会員。福田光治

1. まえがき

土の力学体系を考えるとき、土の構造をいかに表現するかは重要な問題である。文献1)では、2次元粒状体を対象としているが、均等径の粒状体の構造表示法として、接触している粒子の中心を結んでできる多角形に着目して、 i 角形要素 ($i=3, 4, \dots$) の確率分布 P_i による表現法を提案した。エントロピー最大原理により求めた*i*角形要素の分布 P_i が間隙比に影響を及ぼすこと、平均間隙径と P_i さらに間隙径と P_i などの関係が説明されることを示した。本文はこれらを透水との関連で考えた際に重要な因子、間隙径に対する考察結果を述べる。

2. エントロピー最大原理による粒状体の間隙分布

2次元粒状体(丸棒積層体)に対する理論的・実験的研究の結果をもとに関係を列挙すると¹⁾

$$(i) P_i = \frac{\exp\{\beta[i-2-(2M/A)\cdot\bar{g}_i]\}}{\sum \exp\{\beta[i-2-(2M/A)\cdot\bar{g}_i]\}} \quad (1)$$

M : 丸棒の本数, A : 全断面積, \bar{g}_i : i 点要素の平均面積, β は次式により決まる。

$$\sum_{i=3}^{\infty} \left\{ i-2 - \frac{2M}{A} \cdot \bar{g}_i \right\} \exp\left\{ \beta \left(i-2 - \frac{2M}{A} \cdot \bar{g}_i \right) \right\} = 0 \quad (2)$$

丸棒の直径 D と間隙比 e との関係は $2M/A = 8/[\pi D^2(1+e)]$ (3)

(ii) \bar{g}_i は2次元の正*i*角形の面積で近似できる。

(iii) i 点要素の間隙比を e_i , その平均値を \bar{e}_i とすると $\bar{e}_i = \bar{g}_i / [\pi D^2(i-2)/8] - 1$ (4)

(iv) 間隙径も同様の条件をつけて D_i^* , \bar{D}_i^* で記すと $\bar{D}_i^* = \sqrt{4\bar{g}_i/\pi - D^2(i-2)/2}$ (5)

(v) 平均接点数 μ は $\mu = 2 + 4/\left[\sum_{i=3}^{\infty} iP_i - 2 \right]$ (6)

(vi) 式(i), (2), (3) により i に $e \sim P_i$ の関係, さらに式(4) により e に \bar{e}_i の関係, 同様に式

(5) により \bar{D}_i^* との関係, 式(6) により μ との関係が判明する。

3. 平均間隙径

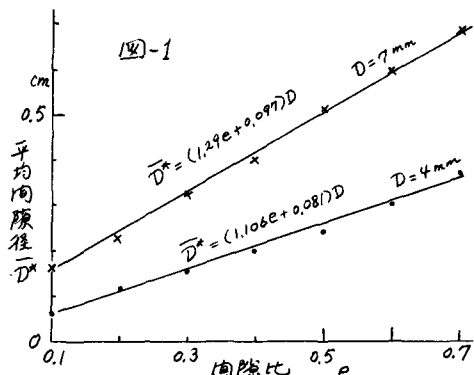
粒状体としての平均間隙径 \bar{D}^* は i 点要素の平均間隙径 \bar{D}_i^* と P_i により次式で与えられる。

$$(7) \quad \bar{D}^* = \sum_{i=3}^{\infty} P_i \bar{D}_i^*$$

式(7)により計算される \bar{D}^* と間隙比 e との関係を $D=7\text{mm}$, $D=4\text{mm}$ の場合について算出すると、図-1のようである。両者の平均的関係を求めると、

$$(8) \quad \bar{D}^* = (1.20e + 0.09) \cdot D$$

式(8)は平均間隙径が粒径に比例し、さらに間隙比に比例するという近似的関係である。興味深いものがある。



4. 毛管上昇高さと平均間隙径

径 R の毛管上昇高さ h_c は接触角 $\alpha=0$ 、水の表面張力 T_s 、水の単位体積重量 γ_w として

$$h_c = 4T_s / [R\gamma_w] \quad (9)$$

管径 R を式(8)の \bar{D}^* で置きかえ、 15°C の $T_s = 0.075$ g/cm 2 を用いると

$$h_c = 0.300 / [(1.20e + 0.09) \cdot D] \quad (10)$$

ここで $\gamma_w = 1 \text{ g/cm}^3$ とし、 $D(\text{cm})$ 、 $h_c(\text{cm})$ の元である。
※アーヴィング: 土の構造, 山海堂, p.38
××松尾木喜: 土の透水性に関する考察, 土基盤, No.560, pp.23-29 (1969)

式(10)の D は均等な丸棒の粒径であるが、これに相当するものとして

土試料の平均粒径を粒度から粒子数を考慮して求めて \bar{D} とする。 \bar{D} と有効径 D_{10} を数種類の土に対して調べた結果が表-1である。 $\bar{D} \neq D_{10}$ である。

そこで式(10)の $D \rightarrow \bar{D} \rightarrow D_{10}$ と置きかえると

$$h_c = 0.300 / [(1.20e + 0.09) D_{10}] \quad (11)$$

一方、よく知られてる関係式: $h_c = C / (e D_{10})$, $C = 0.1 \sim 0.5 \text{ cm}^2$ (12)

について、その精度を調べたのが表-2である。式(11)は \bar{D} の計算値と式(12)は D_{10} の値を用いてLaneからの実験値と比較しているが、式(11)の方がより精度を有し、明確なことわかる。

5. 透水係数との関連

細管中の流れを Poiseuille則に基いて考観してゆくと、長さ sl のところを水が屈曲して sl_e の距離だけ流れると、屈曲度を $T = sl_e / sl$ として透水係数は

$$R = \gamma_w R^2 n / (322 T^2) \quad (13)$$

式(13)の R は式(8)の \bar{D}^* を用いた(1)の値(2:粒度数, n :肉厚率)

$$R = \frac{\gamma_w}{322} \cdot n (1.20e + 0.09)^2 D_{10}^2 / T^2 \quad (14)$$

$$\text{または } T = (1.20e + 0.09) D_{10} \cdot \sqrt{\frac{\gamma_w n}{322 R}} \quad (15)$$

定義により屈曲度は $T > 1$ であるが、数の実験資料を用いて²⁾、式(15)より屈曲度 T を算出してみると二種類の実験結果によると、表-3のようである。同一試料に対しては $T \approx \text{const}$ である。

以上、2次元粒状体に対して得られた平均間隙径の式(8)は砂質土にかなりよく適合することがわかった。

参考文献 1) 宇野・福田: エントロピー最大原理による粒状体の間隙分布、土木学会誌30年春号、pp.396-397 (1975), 2) 数元志: 土の透水性に関する研究、昭和49年度岐大卒論, 3) Lane, K.S and D.E. Washburn: Capillary Tests by Capillarimeter and by Soil Fields Tube, Proc Highway Research Board, 1946

表-1 平均粒径と有効径

試料	\bar{D} (mm)	D_{10} (mm)	\bar{D}/D_{10}
長良川砂 ²⁾	0.17	0.16	1.1
標準砂 ²⁾	0.15	0.14	1.1
エルベルビン*	0.13	0.12	1.1
No. 1-1 **	0.51	0.56	0.9
No. 1-2 **	0.07	0.13	0.6
No. 1-3 **	0.09	0.36	0.3
No. 2-2 **	0.04	0.12	0.4

*アーヴィング: 土の構造, 山海堂, p.38
**松尾木喜: 土の透水性に関する考察, 土基盤, No.560, pp.23-29 (1969)

表-2 毛管上昇高

D_{10} (mm)	e	h_c (cm)			
		② Laneの実験 ³⁾	③ 式(12)	④ 式(11)	⑤/⑥
0.82	0.27	5.4 ~ 6.0	4.5 ~ 22.6	8.8	0.8 ~ 4.0
0.20	0.45	28.4 ~ 20.0	1.1 ~ 5.6	23.8	0.1 ~ 0.2
0.30	0.29	106.0 ~ 68.0	11.5 ~ 57.5	22.8	0.1 ~ 0.7
0.11	0.27	82 ~ 60.	33.7 ~ 168.4	65.9	0.5 ~ 2.4
0.03	0.36	165.5 ~ 112.	92.6 ~ 463.0	191.6	0.7 ~ 3.3

表-3 屈曲度 (a)長良川砂

e	n	R (cm/sec)	T
0.841	0.457	2.58×10^{-2}	3.26
"	"	2.68 "	3.18
0.792	0.442	2.24 "	3.24
0.783	0.439	2.50 "	3.03
"	"	2.04 "	3.35
0.748	0.428	1.93 "	3.27
"	"	1.86 "	3.33

(b) 富浦標準砂

e	n	R (cm/sec)	T
0.739	0.425	2.42×10^{-2}	2.54
"	"	2.32 "	2.59
0.695	0.410	1.92 "	2.64
"	"	2.04 "	2.57
"	"	1.85 "	2.69
0.653	0.395	1.69 "	2.61